

# ارائه یک روش بازخورد ربط با رویکرد اصلاح معیار شباهت در یک سیستم بازیابی تصویر مبتنی بر جایگزینی فازی تصاویر اشعه X پزشکی با گراف نسبی ویژگی دار فازی

حسین پورقاسم<sup>(۱)</sup> - حسن قاسمیان<sup>(۲)</sup>

(۱) دانشکده برق - دانشگاه آزاد اسلامی واحد نجف آباد

(۲) دانشکده برق و کامپیوتر - دانشگاه تربیت مدرس

**خلاصه:** جهت بهبود عملکرد سیستم‌های بازیابی تصویر براساس محتوا از روش‌های بازخورد ربط<sup>۱</sup> استفاده می‌شود. در این مقاله، یک روش جدید بازخورد ربط با رویکرد اصلاح معیار شباهت در یک سیستم بازیابی تصویر مبتنی بر جایگزینی فازی تصاویر اشعه X پزشکی با گراف نسبی ویژگی دار فازی<sup>۲</sup> ارائه شده است. روش بازخورد ربط پیشنهادی با استفاده از میزان شباهت تصاویر مرتبط و غیرمرتبط با تصویر پرس‌وجو، وزن بهینه‌ای برای هر ویژگی در بردار ویژگی محاسبه می‌گردد تا در الگوریتم تطبیق فازی گراف به عنوان یک پارامتر تصحیح‌کننده معیار شباهت استفاده گردد. وزن بهینه برای هر ویژگی در بردار ویژگی از روی انحراف معیار ویژگیهای تصاویر بازیابی شده در راستای بعد ویژگی در فضای ویژگی محاسبه می‌گردد. در سیستم پیشنهادی، از گراف‌های نسبی ویژگی دار فازی جهت جایگزینی تصویر، از یک الگوریتم تطبیق فازی گراف جهت تعریف معیار شباهت و از یک الگوریتم طبقه‌بندی معنایی مبتنی بر نقشه ادغام جهت تعیین فضای جستجو در پایگاه داده استفاده شده است. جهت ارزیابی روش بازخورد ربط در سیستم پیشنهادی از یک پایگاه داده استاندارد تصاویر اشعه X پزشکی شامل ۱۰۰۰۰ تصویر در ۵۷ کلاس مختلف استفاده شده است. بهبود پارامترهای ارزیابی سیستم بازیابی، کارآمدی سیستم پیشنهادی را نشان می‌دهد.

**کلمات کلیدی:** بازخورد ربط، سیستم بازیابی تصویر براساس محتوا، گراف نسبی ویژگی دار فازی، معیار شباهت.

## ۱ - مقدمه

گسترش تعداد پایگاه داده‌های تصاویر پزشکی با حجم بزرگ و همچنین کاربردهای آنها در مدیریت پایگاه داده‌های پزشکی، تشخیص بیماری به کمک کامپیوتر، بازیابی براساس محتوا در کاربردهای پزشکی را اجتناب‌ناپذیر کرده است. روش‌های رایج بازیابی تصویر مطابق با نوع و طبیعت ویژگیهای مورد استفاده در نمایه‌گذاری و بازیابی تصویر به دو دسته تقسیم می‌شوند: دسته اول، روش‌های براساس متن جهت بازیابی تصویر است که در این روشها محتویات با استفاده از تشریح‌کننده‌های متنی بیان می‌شود. پرس‌وجو در این سیستم‌ها براساس متن صورت می‌گیرد. ولی استفاده از این روشها محدودیتهایی را در بازیابی تصویر ایجاد می‌کنند. علاوه براین حاشیه‌نویسی متنی برای تمام تصاویر داخل پایگاه داده کاری وقت‌گیر و منحصراً برای یک زبان خاص قابل استفاده است. در مقابل روش‌های بازیابی براساس متن، روش‌های بازیابی تصویر براساس محتوا از ویژگیهای بینایی تصویر شده‌اند. بسیاری از سیستمهای پزشکی بازیابی تصویر همچون تصاویر CT رزو لوشن بالای CT شش<sup>[۱]</sup>، تصاویر ماموگرافی<sup>[۲]</sup>، تصاویر IRMA<sup>[۳]</sup> و NHANES<sup>[۴]</sup> در کاربردهای خاص پزشکی طراحی و پیاده‌سازی شده‌اند. بسیاری از سیستمهای پزشکی بازیابی تصویر همچون تصاویر اشعه X دسته اند. این سیستم‌ها متنی بیان می‌شوند. ولی استفاده از این روشها محدودیتهایی را در بازیابی تصویر ایجاد می‌کنند. علاوه براین حاشیه‌نویسی متنی برای تمام تصاویر داخل پایگاه داده کاری وقت‌گیر و منحصراً برای یک زبان خاص قابل استفاده است. در مقابل روش‌های بازیابی براساس متن، روش‌های بازیابی تصویر براساس محتوا از ویژگیهای بینایی تصویر

می‌گردد و سعی می‌شود در بازخوردهای بعدی اجزایی که دارای اهمیت بیشتری هستند، نقش موثرتری در بازیابی داشته باشند. در این مقاله، یک روش بازخورد ربط با رویکرد اصلاح معیار شباهت در یک چارچوب بازیابی تصویر براساس محتوا مبتنی بر جایگزینی گراف نسبی ویژگی دار فازی [۳۲] در کاربرد تصاویر اشعه X پژوهشی ارائه شده است. در این چارچوب هر تصویر از پایگاه داده با یک گراف نسبی ویژگی دار فازی جایگزین می‌گردد و برای مقایسه و استخراج میزان شباهت تصاویر با یکدیگر از یک الگوریتم تطبیق فازی گراف [۳۳] به عنوان معیار شباهت استفاده می‌گردد. روش بازخورد ربط پیشنهادی با استفاده از میزان شماهت تصاویر مرتبط و غیرمرتبط با تصویر پرس‌وجو، وزن بهینه‌ای برای هر ویژگی در بردار ویژگی محاسبه کرده تا در الگوریتم تطبیق فازی گراف به عنوان یک پارامتر تصحیح‌کننده‌ی معیار شباهت استفاده کند. وزن بهینه‌ای برای هر ویژگی در بردار ویژگی از روی انحراف معیار ویژگی‌های تصاویر بازیابی شده در راستای بعد ویژگی در فضای ویژگی محاسبه می‌گردد. در چارچوب پیشنهادی این مقاله، ویژگی‌های مستخرج از نواحی تصویر در گره گراف و ویژگی‌های نسبی بین نواحی در لبه‌های بین دو گره در گراف نسبی ویژگی دار فازی جایگزین می‌گردد. از ویژگی‌های مختلف بافت برای گره‌ها و از ویژگی‌های مکانی برای لبه‌ها استفاده شده است. در چارچوب پیشنهادی، از یک طبقه‌بند معنایی مبتنی بر نقشه ادغام [۳۴] جهت تعیین فضای جستجو در پایگاه داده استفاده شده است. در بخش ۲ مقاله، چارچوب پیشنهادی بازیابی تصویر براساس محتوا معرفی می‌شود. بخش ۳ جزئیات روش بازخورد ربط پیشنهادی تشریج می‌گردد. بخش ۴ نتایج آزمایش‌های انجام شده را ارائه می‌کند و در بخش ۵ نیز نتیجه‌گیری از کار صورت گرفته و مقایسه‌ای با کارهای قبلی ارائه می‌شود.

## ۲- چارچوب سیستم بازیابی تصویر براساس محتوا

### ۲-۱- نمای کلی سیستم

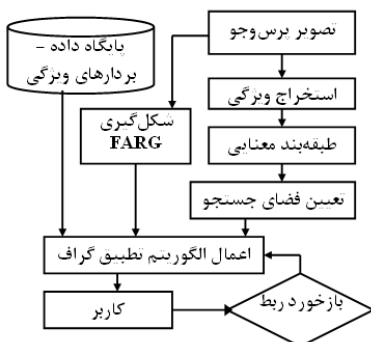
شکل (۱) نمای کلی سیستم نمایه‌گذاری و بازیابی تصویر براساس محتوا بازخورد ربط را نشان می‌دهد. در این سیستم، به کمک یک طبقه‌بند معنایی، تصاویر پایگاه داده در کلاس‌های از پیش تعریف شده‌ای طبقه‌بندی می‌گردد. در ادامه m تا از نزدیکترین (محتمل‌ترین) کلاس‌ها به کلاس تصویر پرس‌وجو به عنوان فضای جستجو در نظر گرفته می‌شود. برای استخراج میزان شباهت تصاویر موجود در فضای جستجو با تصویر پرس‌وجو از یک الگوریتم جایگزینی گراف و تطبیق گراف‌ها استفاده شده است. برای این منظور هر تصویر پایگاه داده با یک FARG [۳۲] جایگزین شده است. همانگونه که می‌دانید یک گراف ویژگی دار از تعدادی گره (Node) و لبه (Edge) تشکیل شده است. برای جایگزینی یک تصویر با یک گراف ویژگی دار، هر ناحیه معنی‌دار از تصویر یا هر شئی موجود در تصویر با یک گره در گراف جایگزین می‌گردد و ویژگی‌های نسبی بین نواحی یا اشیاء داخل تصویر

و برای کاربردهای دیگر مورد استفاده قرار نمی‌گیرند [۱۴-۱۱]. در مقابل تعداد کمی از این سیستمها (KmED [۱۵] و IRMA [۳]) برای کاربردهای عام پژوهشی گسترش پیدا کرده‌اند. در سیستم‌های بازیابی براساس محتوا تعاملی تحت عنوان بازخورد ربط بین سیستم و کاربر وجود دارد. لزوم وجود این چنین تعاملی بهبود عملکرد سیستم طبق نظر کاربر است. دو دلیل عمدۀ برای محدودیت کارآیی سیستم‌های بازیابی تصویر براساس محتوا وجود شکاف معنایی و سلیقه‌ای بودن ادراک انسان است. در بازیابی تصویر، سیستم تصاویری به کاربر ارائه می‌کند که دارای ویژگی‌های سطح پایین نزدیک به تصویر پرس‌وجوی کاربر است، در حالی که ممکن است دارای معنای دلخواه کاربر نباشد. این موضوع نشان دهنده آن است که ویژگی‌های سطح پایین برای ارائه ویژگی‌های معنایی تصاویر کافی نبوده و فاصله‌ای بین این دو نوع ویژگی وجود دارد که از آن به عنوان شکاف معنایی یاد می‌شود. از سوی دیگر سلیقه افراد مختلف با یکدیگر متفاوت است و همین تفاوت سلیقه باعث متفاوت شدن ویژگی‌های معنایی بین دو نفر می‌شود. برای رفع این محدودیت‌ها، لازم است که عمل بازیابی همراه با تعامل با کاربر باشد. معمولاً پس از بازیابی، از کاربر خواسته می‌شود تا تصاویر بازیابی شده را بر اساس مرتبط بودن (تصویر مثبت) یا نبودن (تصویر منفی) با تصویر پرس‌وجو مرتب کند. با این بازخورد، سیستم عملکرد خود را بصورتی تغییر می‌دهد که کاربر به تصاویر دلخواهش برسد. معمولاً این بازیابی و بازخورد باید چندین بار بین کاربر و سیستم صورت گیرد تا سیستم نظرات کاربر را تأمین کند [۱۶]. بیشترین کارهای صورت گرفته در بازخورد ربط بر پایه ۲ روش عده زیر است:

- حرکت نقطه پرس‌وجو: در این روش سعی می‌شود با حرکت نقطه‌ی جستجوی جاری به کمک بازخورد کاربر، تخمین نقطه جستجوی ایده‌آل ( بصورت ویژگی‌های سطح پایین) بهتر شود [۱۷-۲۳].

- اصلاح وزن‌ها: در این روش وزن‌ها و پارامترهای مورد استفاده در تعیین میزان شباهت براساس بازخورد کاربر اصلاح می‌شود [۲۴-۳۱].

در روش‌های بازخورد ربط از تصاویر مثبت به تنهایی یا از تصاویر مثبت و منفی بطور همزمان جهت اصلاح عملکرد بازیابی استفاده می‌شود. در [۱۹] از نمونه تصاویر مثبت جهت تخمین توزیع گوسین تصاویر دلخواه یک پرس‌وجوی خاص و از نمونه تصاویر منفی جهت اصلاح رتبه‌بندی تصاویر بازیابی شده استفاده می‌گردد. ویژگی‌های تمام نمونه‌های مثبت جهت محاسبه و بهروز کردن پارامترهای توزیع گوسین معنایی آن کلاس، بکار گرفته می‌شود. سپس از یک طبقه‌بند بیزین جهت رتبه‌بندی دوباره تصاویر در پایگاه داده استفاده می‌شود. در [۲۲]، یک روش بازخورد ربط مبتنی بر اصلاح بردار پرس‌وجو در یک پایگاه داده تصاویر متّی ارائه شده است. در این الگوریتم، درجه اهمیت هر جزء متن در فرآیند بازیابی به کمک قواعد فازی محاسبه



شکل (۱): نمای کلی سیستم نمایه‌گذاری و بازیابی تصویر براساس محتوا.



شکل (۲): روندnamای شکل‌گیری FARG

در این فرآیند، پیکسلها به پیکسلهای همنگ یا به پیکسلهای غیر همنگ تقسیم‌بندی می‌شوند. پیکسلهای همنگ متعلق به یک ناحیه پیوسته و با یک حداقل مساحت است در صورتی که پیکسلهای غیر همنگ به این صورت نیستند.

مرحله اول در محاسبه بردار همنگ رنگی مشابه محاسبه هیستوگرام رنگ است. در ابتدا مقدار میانگین محاسبه شده در یک همسایگی  $3 \times 3$  از تصویر، جایگزین هر پیکسل می‌شود. این کار جهت حذف تغییرات کوچک در یک همسایگی از تصویر انجام می‌شود. گام بعدی، طبقه‌بندی پیکسلها در یک محدوده رنگی مشخص به دو دسته همنگ و غیرهمنگ است. یک پیکسل همنگ قسمتی از یک گروه بزرگ از پیکسلهایی است که رنگ مشابه دارند در حالی که یک پیکسل غیر همنگ به این صورت نیست. یک گروه به هم پیوسته  $C$ . یک مجموعه‌ای از پیکسلها است که بین دو پیکسل  $p, p' \in C$  قرار گرفته‌اند. بین دو پیکسل  $p, p'$  از گروه  $C$  مسیری از پیکسلها قرار گرفته‌اند که رشتۀ  $p = p_1, p_2, \dots, p_n = p'$  را شکل می‌دهد به صورتی که  $p_i, p_{i+1}$  دو پیکسل پشت سرهم و همسایه هستند. هنگامی که گروههای به هم پیوسته پیکسلها مشخص شد، هر پیکسل دقیقاً به یک گروه به هم پیوسته تعلق می‌گیرد. یک پیکسل همنگ است اگر تعداد پیکسلهای گروه مربوط به آن پیکسل از حدآستانه‌ی  $\alpha$  کمتر نباشد. در غیر این صورت پیکسل غیر همنگ است. فرض کنید تعداد پیکسلهای همنگ رنگ  $\alpha_m$  و تعداد پیکسلهای غیر

در لبه بین دو ناحیه متناظر جایگزین می‌شود. در ادامه برای مقایسه تصاویر و استخراج میزان شباهت بین دو تصویر از الگوریتم‌های تطبیق گراف [۳۳] جهت استخراج میزان تطابق بین دو گراف استفاده می‌گردد. به عبارت دیگر در این سیستم از یک الگوریتم تطبیق گراف نسبی ویژگی دار فازی به عنوان معیار شباهت استفاده می‌شود. در ادامه تصاویر براساس میزان شباهتشان با گراف تصویر پرس و جو مرتب شده و به کاربر ارائه می‌گردد. کاربر نیز تصاویر بازیابی شده را به دو دسته تصاویر مرتبط (مثبت) و غیرمرتبط (منفی) تقسیم می‌کند تا به عنوان بازخورد کاربر به سیستم داده شود. سیستم نیز با فرآیند بازخورد ربط عملکرد خود را بهبود می‌دهد. روش بازخورد ربط سیستم پیشنهادی مبتنی بر رویکرد اصلاح معیار شباهت (الگوریتم تطبیق گراف) می‌باشد و در هر تکرار از آن وزن مربوط به هر ویژگی در بردار ویژگی را اصلاح می‌کند.

## ۲-۲- شکل‌گیری گراف نسبی ویژگی دار فازی برای هر تصویر

شکل (۲) روندnamای شکل‌گیری گراف نسبی ویژگی دار فازی برای هر تصویر در پایگاه داده را نشان می‌دهد. در این روندnam، در ابتدا جهت شناسایی نواحی همگن و معنی دار ایشان موجود در تصویر، تصویر ورودی ناحیه‌بندی می‌گردد. برای ناحیه‌بندی تصاویر از روش ساده و البته کارآمد بردار همنگ رنگی<sup>۴</sup> استفاده می‌شود. پس از این هر ناحیه با یک گره از گراف برچسب‌گذاری می‌شود. یک بردار ویژگی  $Z$  شامل ویژگی‌های بافت، شدت روشنایی و دیگر ویژگی‌ها برای هر ناحیه  $Z$  شکل می‌گیرد. در این مقاله برای هر ناحیه ۱۲ نوع ویژگی کنتراست، همبستگی، همگنی، انرژی مستخرج از ماتریس هم‌خدادی در ۴ جهت صفر، ۴۵، ۹۰ و ۱۳۵ درجه [۳۵]، شدت روشنایی، مساحت، تشریح‌کننده ضرایب فوريه به عنوان ویژگی لبه [۳۶]. جهت محور اصلی، میزان کشیدگی و طول محور اصلی و فرعی به عنوان ویژگی شکل [۳۷]، نامتفاوتی‌های ممانی به عنوان ویژگی شکل [۳۸] در نظر گرفته شده است. برچسب‌های زبانی برای تمام ویژگی‌ها بصورت کم  $5$ ، متوسط  $6$  و زیاد  $7$  در نظر گرفته شده است. علاوه بر این برای هر لبه گراف، ویژگی ارتباط مکانی با  $5$  برچسب زبانی چپ بودن<sup>۸</sup>، راست بودن<sup>۹</sup>، بالا بودن<sup>۱۰</sup>، پایین بودن<sup>۱۱</sup> و محاط بودن<sup>۱۲</sup> در نظر گرفته شده است [۳۹]. در ادامه جزئیات بیشتری از نحوه شکل‌گیری FARG ارائه می‌گردد.

### ۲-۲-۱- بردار همنگ رنگی<sup>۱۳</sup>

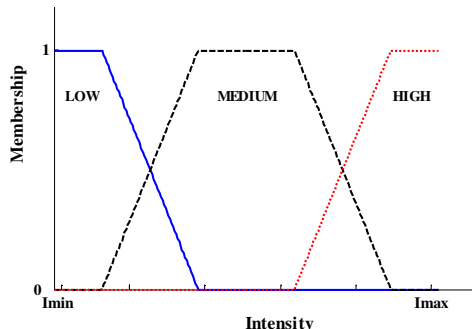
یک بردار همنگ رنگی به صورت معیاری از پیکسلها که در یک ناحیه رنگی مشابه قرار گرفته‌اند یا نگرفته‌اند، تعریف می‌شود [۴۰]. به این نواحی رنگی، نواحی همنگ می‌گویند.

B C B B A A	2 1 2 2 1 1	22 10 21 22 15 16
B B C B A A	2 2 1 2 1 1	24 21 13 20 14 17
B C D B A A	2 1 3 2 1 1	23 17 38 23 17 16
B B B A A E	2 2 2 1 1 2	25 25 22 14 15 21
B B A A E E	2 2 1 1 2 2	27 22 12 11 21 20
B B A A E E	2 2 1 1 2 2	24 21 10 12 22 23

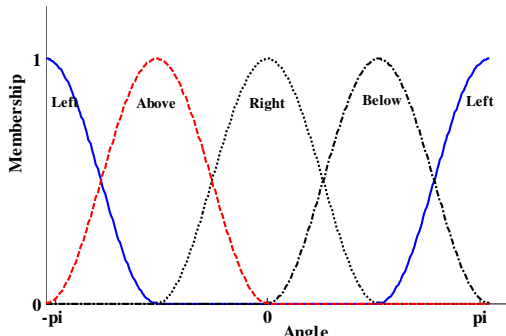
(ج)

(ب)

(الف)

شکل (۳): نحوه محاسبه بردار همگرای رنگی یک تصویر  $6 \times 6$ .

شکل (۴): تابع عضویت ذوزنقه‌ای شکل مربوط به ویژگی هر ناحیه گره در گراف.



شکل (۵): تابع عضویت ارتباط مکانی بین نواحی داخل تصویر بر حسب زاویه بین آنها.

به واسطه ویژگی غالی که در تصاویر پایگاه داده مورد استفاده دیده می‌شود که ععمولاً هر ناحیه داخل ناحیه دیگری قرار گرفته است، مقدار عضویت برای ویژگی محاطبودن برابر مقدار حداقل مقادیر تابع عضویت فازی  $\alpha$  برحسب اول در نظر گرفته می‌شود.

۲-۳-۲- الگوریتم تطبیق فازی گراف به عنوان معیار شاخص الگوریتم تطبیق گراف فازی<sup>۴</sup>، یک الگوریتم تطبیق گراف فازی است که از برحسب گذاری منعطف و توری مجموعه فازی برای حل مسئله زیرگراف‌های هم ریخت استفاده می‌کند [۳۲]. برای دو گراف داده شده، الگوریتم سعی می‌کند بهترین تطابق ممکن بین آنها را برگرداند. FGM از یک ماتریس مقدار عضویت  $[u_{ij}]$  استفاده می‌کند که درجه نسبی ارتباط گرهی  $A \in \mathbb{U}$  نسبت به گرهی  $B \in \mathbb{U}$  است به عبارت دیگر  $U$  ماتریس تطبیق فازی است. تابع هدف که در الگوریتم FGM مورد استفاده قرار می‌گیرد به صورت زیر است:

همرنگ  $\beta_j$  باشد. در آن صورت تعداد کل پیکسلها در آن رنگ  $\alpha_j + \beta_j$  است و هیستوگرام رنگی را می‌توان به صورت زیر خلاصه کرد:

$$< \alpha_1 + \beta_1, \dots, \alpha_n + \beta_n > \quad (1)$$

برای هر رنگ جفت  $(\alpha_j, \beta_j)$  محاسبه می‌شود. در نهایت بردار

همرنگ رنگی به صورت زیر تعریف می‌شود:

$$< (\alpha_1, \beta_1), \dots, (\alpha_n, \beta_n) > \quad (2)$$

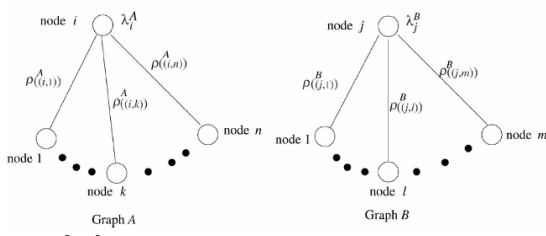
برای مثال یک تصویر  $6 \times 6$  مانند آنچه در شکل (۳-الف) نشان داده شده است، در اختیار است. در این تصویر سه جزء رنگی  $\alpha = 4$  در نظر گرفته شده است. تصویر فوق به ۳ فضای رنگی شامل پیکسل‌هایی که دارای سطح خاکستری ۱۰ تا ۲۹، ۲۰ تا ۲۹ و بیشتر از ۳۰ هستند، تقسیم‌بندی می‌شود تا تصویر شکل (۳-ب) شکل گیرد. قدم بعدی محاسبه‌ی اجزای به هم پیوسته رنگی در تصویر است. این اجزا با برچسبهای A,B,C,D,E مشخص می‌شود (شکل (۳-ج)). اجزای C,D,E دارای تعداد حداقل پیکسل  $\alpha = 4$  هستند و اجزای A,B دارای از آستانه  $\alpha$  پیکسل دارند. بنابراین پیکسل‌های موجود در A,B,C,D,E پیکسل‌های همرنگ هستند در حالی که پیکسل‌هایی غیر همرنگ هستند. نهایتاً بردار همرنگ رنگی تصویر را می‌توان به صورت  $< (12,3),(20,0),(0,1) >$  نوشت.

## ۲-۲-۲- محاسبه ویژگیهای گره گراف FARG

ویژگی‌های محاسبه شده برای هر ناحیه بصورت فازی به هر گره FARG نسبت داده می‌شود. برای فازی کردن ویژگی‌ها از سه برحسب زبانی کم، متوسط و زیاد با توابع عضویت ذوزنقه‌ای استفاده می‌شود. برای ویژگی شدت روشنایی، از تمام پیکسل‌هایی واقع در یک ناحیه میانگین‌گیری می‌شود و توابع عضویت برای سه برحسب زبانی بر روی بازه  $[I_{min}, I_{max}]$  تعریف می‌شود که  $I_{min}, I_{max}$  حداقل و حداکثر مقدار شدت روشنایی در کل تصاویر پایگاه داده است. برای بقیه ویژگیها (کنتراست، همبستگی، همگنی، انحراف مستخرج از ماتریس هم خدادای و مساحت ناحیه) نیز به همین صورت مقدار تعلق فازی به سه برحسب زبانی از روی توابع عضویت ذوزنقه‌ای بدست می‌آید. توابع عضویت بکار گرفته شده در شکل (۴) نشان داده شده است.

## ۲-۲-۳- محاسبه ویژگیهای لبه گراف FARG

در این مقاله فقط ویژگی ارتباط مکانی برای لبه‌های گراف در نظر گرفته شده است. برای هر دو ناحیه (گره) از تصویر مقدار ویژگی ارتباط مکانی محاسبه و ۵ برحسب زبانی چپ بودن، راست بودن، بالا بودن، پایین بودن و محاط بودن با توابع عضویت  $\sin^2 \theta$  و  $\cos^2 \theta$  به لبه بودن نسبت داده می‌شود. برای محاسبه  $\alpha$  برحسب زبانی چپ بودن، راست بودن، بالا بودن و پایین بودن از روش ریخت‌شناسی فازی [۳۹] (استفاده از زاویه بین مراکز جرم دو ناحیه (یا دو شئی)) و توابع عضویت  $\sin^2 \theta$  و  $\cos^2 \theta$  (شکل (۵)) استفاده می‌شود.



شکل (۶): نحوه محاسبه تطابق پذیری دو گراف [۳۲].

برای کاهش حجم محاسبات بزرگترین المان M برابر یک قرار داده می‌شود و بقیه المانهای هم ردیف و هم ستون آن صفر قرار داده می‌شود.

فرض کنید p امین ویژگی از FARG برای مثال دارای  $n_{ap}$  مقدار زبانی است. مقدار p امین ویژگی  $a_p$  از گره i از گراف A با

$a_{ip}^A = (a_{ip1}^A, \dots, a_{ipn_{ap}}^A)$  بیان می‌شود. بطور مشابه مقدار p امین

ویژگی لبه (i, k) از گراف A با  $r_{(i,k)p}^A = (r_{(i,k)p1}^A, \dots, r_{(i,k)pn_{ap}}^A)$  بیان می‌شود. درجه تطابق پذیری  $w_{ij}$  بین ویژگی گره  $i \in V_A$  و گره i  $j \in V_B$  بصورت زیر تعریف می‌شود:

$$w_{ij} = \begin{cases} \frac{\sum_{p=1}^{n_A} W(p)(1 - \max_{1 \leq q \leq n_{ap}} |a_{ipq}^A - a_{jqq}^B|)}{\sum_{p=1}^{n_A} W(p)} & \text{if } i \neq n+1 \text{ and } j \neq m+1 \\ 0 & \text{Otherwise} \end{cases} \quad (6)$$

که  $W(p)$  وزن مربوط به ویژگی  $a_p$  است که توسط کاربر مشخص می‌شود. در اولین تکرار  $f(c_{ij}) = \exp(-w_{ij})$  است و در تکرارهای بعدی از رابطه (۵) استفاده می‌شود.

$$m_{kl} = u_{kl}^{0.5} \min(w_{kl}, \sum_{p=1}^{n_B} V(p)(1 - \max_{1 \leq q \leq n_{lp}} |\zeta_{(i,k)(j,l),pq}^{AB}|)) \quad (7)$$

if  $k \neq n+1$  and  $l \neq m+1$

که در رابطه بالا،  $V(p)$  وزن مربوط به  $r_p$  است و

$$\zeta_{(i,k)(j,l),pq}^{AB} = \begin{cases} 1 & \text{if } r_{(i,k)pq}^A = 0 \text{ or } r_{(j,l)pq}^B = 0 \\ |r_{(i,k)pq}^A - r_{(j,l)pq}^B| & \text{Otherwise} \end{cases} \quad (8)$$

معادلات (۶) تا (۸) در رابطه (۵) مورد استفاده قرار می‌گیرد. برای گرهی کاذب و لبهای مرتبط با آن مقادیر ویژگی برابر صفر مقداردهی اولیه می‌شوند.

#### ۴-۲-استخراج ویژگی

در سیستم بازیابی پیشنهادی، طبقبندی تصاویر اشعه x پزشکی براساس محتوای شکلی و بافتی آنها صورت می‌گیرد. برای این منظور از ویژگیهای لبه، شکل و بافت استفاده می‌شود. بردار ویژگی موردن استفاده مشکل از ویژگی تشریح‌کننده ضرایب فوریه به عنوان ویژگی لبه [۴۸]، ویژگیهای جهت محور اصلی، میزان کشیدگی و طول محور اصلی و فرعی به عنوان ویژگی شکل [۳۷]، نامتغیرهای ممانی به عنوان ویژگی شکل [۳۸]، ویژگیهای انرژی، همبستگی، کنتراس و همگنی به عنوان ویژگیهای بافت [۳۵] و دو ویژگی جدید، یکی طیفی مبتنی

$$J(U, C) = \sum_{\substack{i=1 \\ (i,j) \neq (n+1, m+1)}}^{n+1} \sum_{j=1}^{m+1} u_{ij}^2 f(c_{ij}) + \eta \sum_{\substack{i=1 \\ (i,j) \neq (n+1, m+1)}}^{n+1} \sum_{j=1}^{m+1} u_{ij} (1 - u_{ij}) \quad (3)$$

ثابتی است که تأثیر نسبی جزء دوم رابطه بالا در فرآیند حداقل سازی کنترل می‌کند.  $c_{ij}$  درجه تطابق پذیری گره i از گراف A و گره j از گراف B است که بصورت ماتریس تطابق‌پذیری C مشخص می‌شود. تابع  $f(\cdot) = \exp(-\beta c_{ij})$  یک تابع کاهشی است که  $c_{ij}$  را به نوعی عدم تشابه تبدیل می‌کند. U و C به یکدیگر وابسته‌اند. U و C با یک فرآیند تکراری به روز می‌شود. به دلیل اینکه فرآیند تطابق دو گراف مقاوم شود یک گره به هر یک از گراف‌ها اضافه می‌شود این گره، تحت عنوان گرهی کاذب شناخته می‌شود. هنگامی که یک گرهی خاص در A با هیچ یک از گرههای موجود در B به درستی منطبق نشود، این گره به گره کاذب گراف B نسبت داده می‌شود. گرهی کاذب با توجه به محدودیت‌های ارائه شده در رابطه (۴) قادر به حداقل کردن تابع هدف است.

$$\begin{cases} \sum_{j=1}^{m+1} u_{ij} = 1 & \text{for } i = 1, \dots, n \\ \sum_{i=1}^{n+1} u_{ij} = 1 & \text{for } j = 1, \dots, m \\ u_{ij} \geq 0 & \forall i \text{ and } j \end{cases} \quad (4)$$

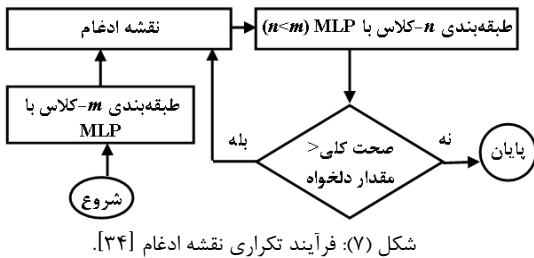
اگر درجه‌های تطابق  $u_{ij}$  و درجه تطابق پذیری  $c_{ij}$  زیاد شود در آن صورت اولین جزء معادله (۳) حداقل می‌شود. در حالت ایده‌آل مطلوب است که  $u_{ij} \in [0,1]$  باشد. برای رسیدن به این هدف جزء دوم (آنتروپی) در رابطه (۳) سعی می‌کند مقدار  $u_{ij}$  را به مقادیر صفر و یک سوق دهد. معادلات به روز کردن الگوریتم FGM براساس روش لاغرانژ و استفاده از شرایط Karush-Kuhn-Tucker پایه‌ریزی شده است [۳۳].

#### ۱-۳-۲-بکار گیری FGMs در FGMs

برای استفاده از FARGs در FGM نیاز است که تطابق پذیری  $c_{ij} \in [0,1]$  دوباره تعریف شود:

$$c_{ij} = w_{ij}^{0.5} \sum_{k=1}^{n+1} \sum_{l=1}^{m+1} \frac{m_{kl} m'_{kl}}{n_j^B} \quad i = 1, \dots, n+1 \text{ and } j = 1, \dots, m+1 \quad (5)$$

در رابطه بالا  $W_{ij}$  درجه تطابق بین ویژگیهای گرهی  $i \in V_A$  و گرهی  $j \in V_B$  است.  $m_{kl} \in [0,1]$  درجه تطابق پذیری بین لبه  $(i,k) \in E_A$  و لبه  $(j,l) \in E_B$  است و  $M' = [m'_{kl}]$  نزدیکترین ماتریس غیرفازی به ماتریس M است که شرایط ارائه شده در رابطه (۴) را ارضاء می‌کند.  $n_j^B$  عامل نرم‌الایزه کردن است که برابر با تعداد لبه‌هایی است که به گرهی  $j \in V_B$  ختم می‌شوند (شکل (۶)). ماتریس  $M'$  همانند یک فیلتر عمل می‌کند و باعث می‌شود که هر لبه در گراف B که به گره زام ختم می‌شود فقط یک بار در محاسبه  $c_{ij}$  در نظر گرفته شود.



به عبارت دیگر ویژگی‌هایی خوب تلقی می‌شوند که تصاویر مرتبط در راستای آن ویژگی‌ها در فضای ویژگی دارای حداقل واریانس باشند.

[۴۲]

بر اساس این ایده، وزن یا اهمیت هر ویژگی در بردار ویژگی از روی انحراف معیار ویژگی‌های تصاویر مثبت بازیابی شده محاسبه می‌گردد. هرچه وزن ویژگی در بردار ویژگی بیشتر باشد، ویژگی فوق تأثیر بیشتری در بازیابی تصاویر مشابه تصویر پرس‌وجو دارد. وزن بهینه  $f_i$  برای ویژگی  $i$  ام در معیار فوق به صورت زیر محاسبه می‌شود.

$$(9) \quad f_i = (\det(C_{ii}))^{-\frac{1}{K}}$$

که  $K$  طول ویژگی  $i$  ام و  $C$  ماتریس کواریانس وزن دار  $X$  است که بصورت زیر تعریف می‌شود:

$$(10) \quad C_{ii} = \frac{\sum_{n=1}^N \pi_n (x_{nir} - q_{ir})(x_{nis} - q_{is})}{\sum_{n=1}^N \pi_n}$$

در رابطه فوق،  $\pi_n$  درجه وابستگی هر یک از  $N$  تصویر بازیابی شده توسط کاربر است که می‌تواند مقادیری در بازی [0,1] به خود بگیرد. مقدار صفر و یک به ترتیب بیانگر کمترین و بیشترین شباهت تصویر فوق با تصویر پرس‌وجو می‌باشد.  $x_{nir}$  و  $q_{ir}$  به ترتیب مقادیر  $i$ -امین ویژگی از  $n$  امین تصویر بازیابی شده و تصویر پرس‌وجو است.

روش بازخورد ربط پیشنهادی، وزن‌های  $f_i$  برای هر ویژگی  $i$  را در الگوریتم تطبیق گراف فازی اعمال می‌کند تا میزان شباهت گراف‌های مربوط به تصاویر پایگاه داده با وزن‌های جدید شناسایی گردد. وزن‌های  $f_i$  در محاسبه درجه تطبیق‌پذیری  $w_{ij}$  بین ویژگی  $i$  و  $j$  از  $V_B$  و گرهی  $v_i \in V_A$  اثر خود را نشان می‌دهد. به عبارت دیگر وزن  $f_i$  به جای  $w_{ij}$  در رابطه  $W(p)$  قرار می‌گیرد. با این ترفند در هر بار بازیابی تصاویر، وزن‌های مربوط به ویژگی‌های خوب یعنی ویژگی‌هایی که دارای واریانس کمتری هستند، افزایش می‌یابد تا بدین وسیله این ویژگی‌ها در بازیابی‌های بعدی تأثیر مهم‌تری بر بازیابی تصاویر مثبت داشته باشند.

#### ۴-نتایج آزمایش‌ها

##### ۱-۱-پایگاه داده

در این تحقیق از پایگاه داده تصاویر اشعة  $X$  پژوهشی پروژه IRMA (ImageCLEFmed 2005) استفاده شده است. این پایگاه داده از ۱۰۰۰۰ تصویر در ۵۷ کلاس تشکیل شده است. این تصاویر از

بر موزائیک‌بندی و دیگری هیستوگرام جهتی هر دو در فضای چند مقیاسه تبدیل موجک می‌باشد [۴۱، ۴۲].

#### ۵-۲-طبقه‌بندی معنایی مبتنی بر نقشه ادغام

طبقه‌بندی تصاویر براساس محتوا آنها، گام اساسی و مهم در یک سیستم بازیابی تصویر براساس محتوا می‌باشد. استفاده از این فرآیند در این چنین سیستم‌هایی نه تنها باعث کاهش فضای جستجو و به دنبال آن کاهش زمان بازیابی می‌شود بلکه عملکرد سیستم را بهبود می‌دهد. در این سیستم برای آنکه صحت طبقه‌بندی افزایش یابد و همچنین طبقه‌بندی معنایی گردد از یک الگوریتم جهت شناسایی و ادغام کلاسهای همپوشان تحت عنوان نقشه ادغام استفاده می‌شود [۳۴]. با اعمال این نقشه بر روی نتایج طبقه‌بندی، کلاس‌هایی با تصاویر همگن شکل می‌گیرد که می‌تواند به بازیابی معنایی کمک کند. در نهایت با اعمال هر تصویر پرس‌وجو به طبقه‌بند معنایی  $m$  تا از نزدیکترین کلاسها به تصویر پرس‌وجو مشخص می‌گردد تا مجموعه تصاویر این کلاسها، فضای جستجو را شکل دهد. سپس با معیار فاصله اقلیدسی، تصاویر این مجموعه بر اساس میزان شباهتشان با تصویر پرس‌وجو مرتب شده و به کاربر ارائه می‌گردد.

#### ۵-۱-نقشه ادغام

در [۳۴]، الگوریتمی تحت عنوان نقشه ادغام جهت ادغام کلاس‌هایی که دارای تصاویر با همپوشانی معنایی قابل توجهی هستند، ارائه شده است. نقشه ادغام از یک فرآیند تکراری تشکیل شده است که در هر تکرار پس از آموزش طبقه‌بند (شبکه عصبی) با نمونه‌های آموزشی، کلاس‌های همپوشان با سه معیار صحت طبقه‌بندی، نرخ دسته‌بندی اشتباہ و فاصله (عدم شباهت) بین دو کلاس، شناسایی شده تا پس از ادغام کلاس‌های مشابه (همپوشان) با یکدیگر، کلاس‌های جدید دوباره به شبکه آموزش داده شود. اگر صحت طبقه‌بندی کلی در حد قبلی قبولی نبود فرآیند دوباره تکرار می‌شود، در غیر اینصورت فرآیند به اتمام می‌رسد. شکل (۷) فرآیند تکراری نقشه ادغام را نشان می‌دهد.

#### ۳-روش بازخورد ربط پیشنهادی

روش بازخورد ربط پیشنهادی این مقاله براساس اصلاح معیار شباهت پایه‌ریزی شده است. با توجه به اینکه در این مقاله از یک الگوریتم تطبیق فازی به عنوان معیار شباهت استفاده شده است. با استفاده از اطلاعاتی که بازخورد ربط فراهم می‌کند، سعی می‌گردد که الگوریتم تطبیق گراف‌های تصاویر با درجه تطبیق‌پذیری بیشتری انجام گیرد. برای این منظور از یک ایده ساده و کارآمد جهت اعمال بازخورد ربط به الگوریتم تطبیق گراف استفاده می‌شود. در این ایده، فرض می‌شود که تصاویر مرتبط (مثبت) بازخورد شده توسط کاربر در فضای ویژگی به هم نزدیک هستند یا حداقل در راستای یک یا چند ویژگی دور هم جمع شده‌اند.



شکل (۸): نمونه‌ای از تصاویر هر کلاس پایگاه داده (کلاسهای ۵۷ گانه به ترتیب از راست به چپ و از بالا به پایین مرتب شده‌اند).

قسمت‌های مختلف بدن و در جهت‌های مختلف تصویربرداری، تصویر برداری شده است. این تصاویر توسط کارشناس رادیولوژی برچسب خورده است. این پایگاه داده به دو مجموعه نمونه‌های آموزشی (۹۰۰۰ تصویر) و نمونه‌های آزمایشی (۱۰۰۰ تصویر) تقسیم می‌شود. نمونه‌ای از تصاویر هر کلاس در شکل (۸) نشان داده شده است.

**۴-۲- معیارهای ارزیابی سیستم بازیابی تصویر براساس محتوا**  
دقت (Precision) و بازیابی (Recall) دو معیار مهمی هستند که در ارزیابی عملکرد سیستم‌های بازیابی تصویر براساس محتوا بکار می‌روند.

$$\text{تعداد تصاویر مرتبط بازیابی شده} = \frac{\text{بازیابی}}{\text{کل تصاویر مرتبط در پایگاهداده}} \quad (11)$$

$$\text{تعداد تصاویر مرتبط بازیابی شده} = \frac{\text{دقت}}{\text{کل تصاویر بازیابی شده}} \quad (12)$$

علاوه بر معیارهای فوق، معیارهایی هستند که از دو معیار بازیابی و دقتشات گرفته و اطلاعات دقیق‌تری را از عملکرد سیستم‌های بازیابی فراهم می‌کنند. این معیارها عبارتند از  $P(R=0.5)$ ، مقدار دقتشات هنگامی که بازیابی ۵٪ باشد،  $P(P=R)$ ، مقدار دقتشات هنگامی که با بازیابی برابر باشد و  $(N_R)$ ، مقدار دقتشات به ازای بازیابی  $N_R$  تصویر می‌باشد

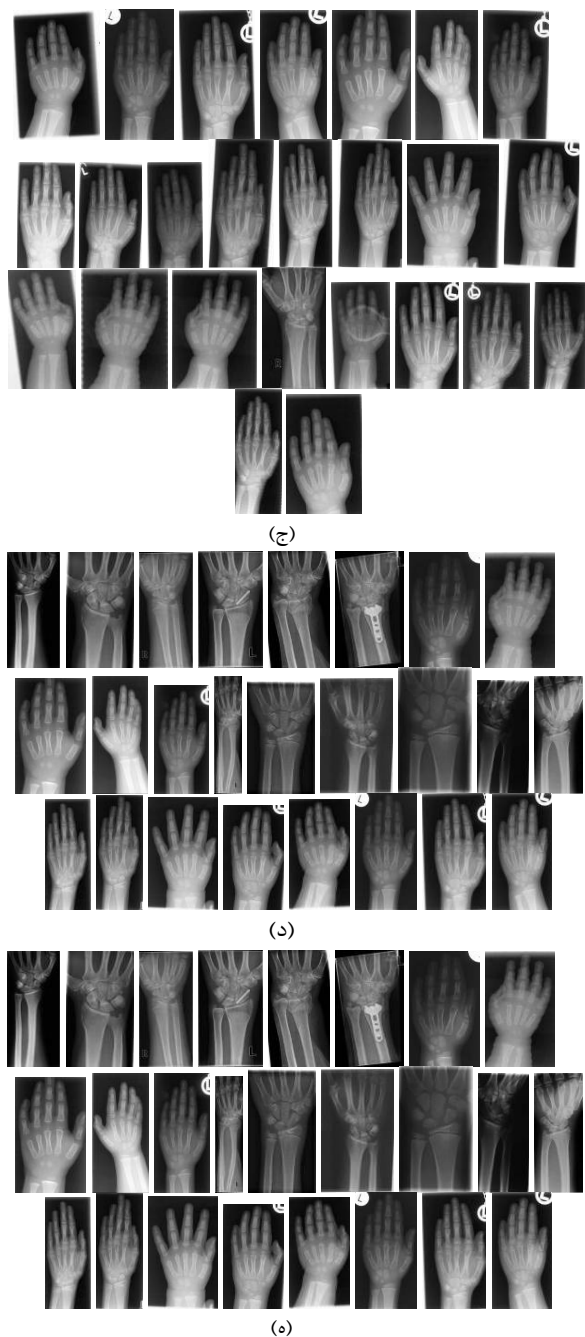
[۴۴]

#### ۴-۳- طبقه‌بندی معنایی مبتنی بر نقشه ادغام

در روندnamای چارچوب پیشنهادی (شکل(۱)) پس از استخراج ویژگی، طبقه‌بندی معنایی مبتنی بر نقشه ادغام صورت می‌گیرد. همانگونه که گفته شد، نقشه ادغام با شناسایی و ادغام کلاسهای همپوشان صحبت طبقه‌بندی تصاویر را بهبود می‌دهد. مطابق روندnamای شکل (۷)، در ابتداء طبقه‌بندی ۵۷ کلاسه بر روی پایگاه داده تصاویر انجام می‌شود. انجام طبقه‌بندی ۵۷ کلاسه با طبقه‌بند شبکه عصبی پرسپترون چندلایه، صحبت ۵۸٪/۲۷ را فراهم کرده است. با اعمال نقشه ادغام بر روی نتایج حاصل از طبقه‌بندی فوق با قرار دادن مقادیر آستانه‌های  $\alpha$ ،  $\beta$  و  $\gamma$  به ترتیب برابر با  $۰/۳$ ،  $۰/۷۵$  و  $۰/۹۰$ ٪، کلاسهای جدیدی شکل می‌گیرند. بعد از اولین تکرار نقشه ادغام، تعداد کلاس‌ها به ۲۸ کلاس کاهش می‌یابد و در مقابل صحبت کلی طبقه‌بندی به مقدار ۶٪/۸۴ می‌رسد. با توجه به اینکه این مقدار کمتر از مقدار آستانه  $T_{desired}=۹۰\%$  است، بنابراین نقشه ادغام برای بار دوم تکرار می‌گردد و مقدار صحبت کلی حاصل برابر ۱/۸۸٪ در ۲۲ کلاس می‌گردد. بنابراین نقشه ادغام برای بار سوم نیز تکرار می‌شود. صحبت کلی حاصل در این مرحله به مقدار ۹٪/۹۰ می‌افزایش می‌یابد. در صورتی که تعداد کلاسهای ۱۹ کلاس کاهش می‌یابد. با توجه به محقق شدن آستانه ۹٪ برای صحبت کلی دلخواه، نقشه ادغام به اتمام می‌رسد.

**۴-۴- انتخاب فضای جستجو و بازیابی تصویر**  
مطابق با روندnamای شکل (۱) پس از انجام ساختار سلسله مراتبی طبقه‌بندی نیاز است که فضای جستجو جهت بازیابی از روی نتایج طبقه‌بندی شناسایی شود. برای این منظور، فضای جستجو از میان  $m$  کلاس از نزدیکترین (محتمل‌ترین) کلاس‌ها به کلاس تصویر پرس‌و‌جو انتخاب می‌گردد. در این مقاله، ۵ تا از نزدیکترین کلاس‌ها به تصویر پرس‌و‌جو به عنوان محدوده جستجو در نظر گرفته می‌شود. با این انتخاب در ۸۸٪/۹۸ موارد تصاویر مرتبط در محدوده جستجو وجود دارد. در هر بار اعمال تصویر پرس‌و‌جو، فضای جستجو با استفاده از طبقه‌بند معنایی مبتنی بر نقشه ادغام تعیین می‌گردد تا در این فضای تصاویر مرتبط براساس میزان شباهتشان با تصویر پرس‌و‌جو برای کاربر مرتب گردد.

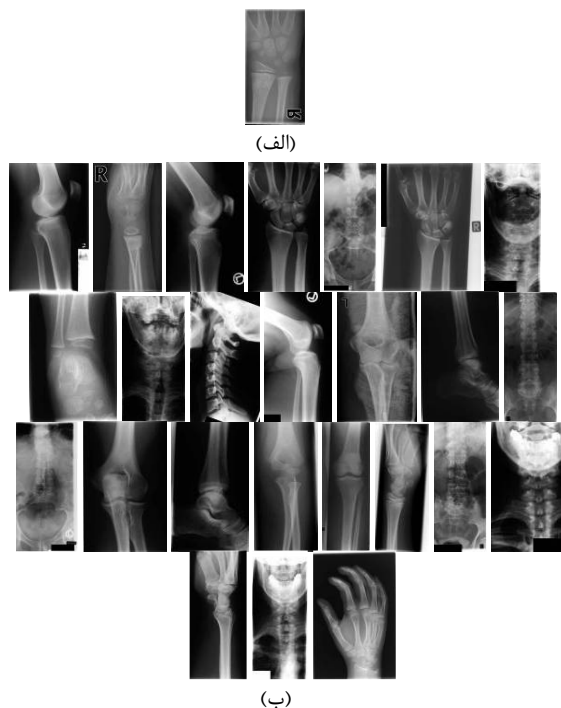
**۴-۵- بازیابی تصویر با استفاده از بازخورد ربط پیشنهادی**  
پس از اعمال تصویر پرس‌و‌جو به سیستم و بازیابی تصاویر، جهت بهبود عملکرد بازیابی از روش بازخورد ربط پیشنهادی استفاده می‌گردد. در روش پیشنهادی تصاویر بازیابی شده بر اساس درجه وابستگی ( $\pi_n$ ) یا به عبارتی میزان شباهت اختصاص داده شده توسط کاربر از مقدار یک تا صفر مرتب می‌شوند. در ادامه با محاسبه ماتریس کوواریانس بردارهای ویژگی تصاویر بازیابی شده و استخراج وزن هر ویژگی، این وزن در الگوریتم تطبیق گراف اعمال می‌گردد تا الگوریتم تطبیق گراف

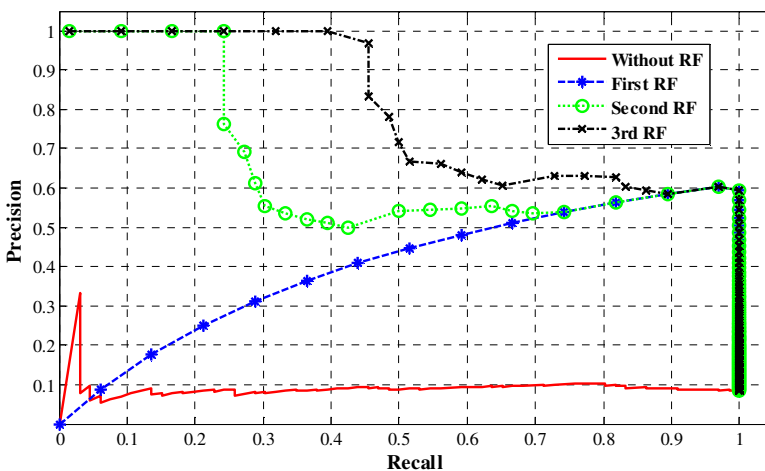


شکل (۹): نتیجه اعمال یک تصویر پرس و جو به سیستم و تأثیر استفاده از روش بازخورد ربط پیشنهادی. (الف)-تصویر پرس و جو، (ب)- تصاویر بازیابی شده در مرحله اعمال تصویر پرس و جو، (ج)- تصاویر بازیابی شده در اولین مرحله بازخورد، (د)- تصاویر بازیابی شده در دومین مرحله بازخورد، (ه)- تصاویر بازیابی شده در سومین مرحله اعمال بازخورد (تصاویر از بالا به پایین و از راست به چپ مرتب شده‌اند).

یا به عبارتی معیار شباهت، در بازیابی‌های بعدی تصاویر مرتبط بیشتری را بازیابی کند.

به عنوان نمونه، یک تصویر مربوط به مج دست (شکل (۹-الف)) را به عنوان تصویر پرس و جو به سیستم اعمال می‌کنیم. تصاویر نشان داده شده در شکل (۹-ب)، ۲۵ تصویر ابتدایی از تصاویر بازیابی شده بدون استفاده از بازخورد ربط است. پس از مشاهده تصاویر بوسیله کاربر و تعیین درجه وابستگی هر تصویر توسط آن، بازخورد ربط پیشنهادی بر روی سیستم اعمال می‌گردد. تصاویر نشان داده شده در شکل (۹-ج) تصاویر بازیابی شده با استفاده از بازخورد ربط در اولین تکرار است. همانگونه که مشاهده می‌کنید، پس از اعمال اولین بازخورد ربط، تعداد تصاویر بازخورد با تصویر پرس و جو افزایش یافته است. اگر برای بار دوم و سوم عمل بازخورد ربط بر روی تصاویر بازیابی شده صورت بگیرد. مشاهده می‌گردد که تعداد تصاویر مثبت بیشتر با محتوای شبیه‌تر به تصویر پرس و جو بازیابی می‌گردد. اشکال (۹-د) و (۹-ه)، تصاویر بازیابی شده در دومین و سومین مرحله اعمال بازخورد ربط پیشنهادی را نشان می‌دهد. نمودار دقت-بازیابی مربوط به مثال فوق برای مرحله بازیابی بدون بازخورد و سه مرحله بازیابی با بازخورد ربط در شکل (۱۰) نشان داده شده است. همانگونه که در نمودار شکل (۱۰) مشاهده می‌شود، عملکرد اولین بازخورد نسبت به مرحله بازیابی بدون بازخورد به جزء چند تصویر اول بازیابی، بهبود داشته است. عملکرد سیستم بازیابی در دومین و سومین مرحله اعمال بازخورد ربط پیشنهادی نیز بهبود قابل توجهی داشته است.





شکل (۱۰): نمودار بازیابی-دقت مربوط به فرآیند بازیابی و بازخورد مثال شکل (۹).

جدول (۱): نتایج اعمال روش بازخورد ربط پیشنهادی بر روی تصاویر مجموعه آزمایشی برای سه مرحله بازخورد ربط.

معیارهای ارزیابی	مراحل بازیابی		
	P(R=0.5)	P(20)	P(R=P)
اعمال پرس و جو	۰/۳۳	۰/۴۸	۰/۳۸
اعمال اولین بازخورد	۰/۶۸	۰/۷۳	۰/۴۷
اعمال دومین بازخورد	۰/۷۲	۰/۷۴	۰/۴۹
اعمال سومین بازخورد	۰/۷۴	۰/۷۶	۰/۶۱

جدول (۲): مقایسه‌ای بین کارهای صورت گرفته با الگوریتم پیشنهادی.

معیارهای ارزیابی	پایگاه داده		روش
	P(R=0.5)	P(R=P)	
[۱۱]	۰/۶۷	۰/۶۲	تصویر در ۱۷ کلاس ImageCLEFmed ۲۰۰۵
[۱۲]	۰/۸۲	۰/۶۸	تصویر در ۲۰ کلاس ImageCLEFmed ۲۰۰۴
[۱۳]	۰/۶۴	۰/۶۱	تصویر در ۱۱۶ کلاس ImageCLEFmed ۲۰۰۶
الگوریتم پیشنهادی-اعمال پرس و جو	۰/۳۳	۰/۳۸	تصویر در ۵۷ کلاس ImageCLEFmed ۲۰۰۵
الگوریتم پیشنهادی-سومین بازخورد	۰/۷۴	۰/۶۱	تصویر در ۵۷ کلاس ImageCLEFmed ۲۰۰۵

تا در الگوریتم تطبیق فازی گراف به عنوان یک پارامتر تصحیح‌کننده‌ی معیار شباهت استفاده کرد. در چارچوب پیشنهادی این مقاله، ویژگیهای مستخرج از نواحی تصویر در گره گراف و ویژگیهای نسبی بین نواحی در لبه‌های بین دو گره در گراف نسبی ویژگی دار فازی جایگزین می‌گردد. علاوه بر این از یک طبقه‌بند معنایی مبتنی بر نقشه ادغام جهت تعیین فضای جستجو در پایگاه داده استفاده شده است. جهت ارزیابی روش بازخورد ربط در چارچوب پیشنهادی از یک پایگاه داده استاندارد تصاویر اشعه  $X$  پژوهشی شامل ۱۰۰۰۰ تصویر در ۵۷ کلاس مختلف استفاده شده است.

نوع تصاویر پایگاه داده و همچنین تعداد کلاسها و حجم آنها پارامترهای مهمی در ارزیابی کارایی الگوریتم‌ها در زمینه بازیابی تصویر هستند که انجام مقایسه بین کارهای صورت گرفته را مشکل می‌کند. به همین دلیل در این مقاله به کارهایی اشاره می‌شود که حداقل از نظر نوع تصاویر پایگاه داده شبیه پایگاه داده مورد استفاده باشند. جدول (۲) مقایسه‌ای بین کارهای صورت گرفته با الگوریتم پیشنهادی ارائه

نتایج اعمال روش بازخورد ربط پیشنهادی بر روی تصاویر مجموعه آزمایشی پایگاه داده در جدول (۱) نشان داده شده است. برای ارزیابی روش بازخورد ربط پیشنهادی از دو معیار  $P(R=0.5)$  و  $P(R=P)$  استفاده شده است.

##### ۵- جمع‌بندی و مقایسه

در این مقاله، یک روش بازخورد ربط با رویکرد اصلاح معیار شباهت در یک چارچوب بازیابی تصویر براساس محتوا مبتنی بر جایگزینی گراف نسبی ویژگی دار فازی در کاربرد تصاویر اشعه  $X$  پژوهشی ارائه شده است. در این چارچوب هر تصویر از پایگاه داده با یک گراف نسبی ویژگی دار فازی جایگزین می‌گردد. روش بازخورد ربط پیشنهادی با شباهت تصاویر با یکدیگر از یک الگوریتم تطبیق فازی گراف به عنوان معیار شباهت استفاده می‌گردد. روش بازخورد ربط پیشنهادی با استفاده از میزان شباهت تصاویر مرتبط و غیرمرتبط با تصویر پرس و جو، وزن بهینه‌ای برای هر ویژگی در بردار ویژگی محاسبه کرده

شرایط آزمایش مشخص می‌شود.

می‌کند. در این جدول ویژگی‌های پایگاه داده مورد استفاده در هر کار ذکر شده است تا انجام مقایسه دقیق‌تر صورت گیرد.

### سپاسگزاری

این مقاله مستخرج از طرح پژوهشی مصوب دانشگاه آزاد اسلامی واحد نجف‌آباد می‌باشد.

### پی‌نوشت:

- 1- Relevance Feedback
- 2- Fuzzy Attributed Relational Graph
- 3- merging scheme
- 4- Color Coherence Vector
- 5- Low
- 6- Medium
- 7- High
- 8- left of
- 9- right of
- 10- above
- 11- below
- 12- surrounded by
- 13- Color Coherence Vector
- 14- Fuzzy Graph Matching

همانگونه که در جدول (۲) مشاهده می‌کنید، در [۱۱]، یک چارچوب بازیابی تصویر بدون بازخورد ربط بر روی یک پایگاه داده شامل ۱۵۰۱ تصویر در ۱۷ کلاس ارائه شده است. مشکل عمده این کار در استفاده از چارچوب فوق برای پایگاه داده‌های بزرگ‌تر است (این مشکل به پیچیدگی محاسباتی زیاد الگوریتم بر می‌گردد). در صورتی که در چارچوب پیشنهادی ما محدودیتی در مورد گسترش پایگاه داده وجود ندارد. ولی با این وجود الگوریتم پیشنهادی نسبت به [۱۱] با توجه به حجم کم پایگاه داده برتری محسوسی دارد. الگوریتم ارائه شده در [۱۲] بر روی یک پایگاه داده شامل ۵۰۰۰ تصویر در ۲۰ کلاس ارزیابی شده است که با توجه به دو برابر بودن تعداد تصاویر و همچنین ۲/۵ برابر بودن تعداد کلاس‌های پایگاه داده مورد استفاده‌ما، الگوریتم پیشنهادی عملکرد به نسبت رضایت‌بخشی فراهم کرده است. در بین کارهای اشاره شده، تنها الگوریتم [۱۳] بر روی یک پایگاه داده بزرگ‌تر نسبت به پایگاه داده ما ارزیابی شده است که عملکرد الگوریتم ما به خصوص در معیار  $P(R=0.5)$  برتری قابل توجهی نسبت به [۱۳] از خود نشان می‌دهد. با مقایسه کارهای انجام شده در این زمینه با الگوریتم پیشنهادی، کارایی و کارآمدی الگوریتم پیشنهادی با توجه به

### مراجع

- [1] Y.Liu, D.Zhang, G.Lu, W.Y.Ma, "A survey of content-based image retrieval with high-level semantics", Pattern Recognition, Vol.40, pp.262-282, 2007.
- [2] C.Shyu, C.Brodley, A.Kak, A.Kosaka, A.Aisen, L.Broderick, "ASSERT: A physician-in-the-loop content-based image retrieval system for HRCT image databases", Comp. Vis. and Image Under., Vol.75, No.1, pp.111-132, 1999.
- [3] T.Lehmann, M.Guld, C.Thies, B.Fischer, K.Keysers, H.Ney, M.Kohnen, H.Schubert, B.Wein, "Content-based image retrieval in medical applications", Methods Inform. Med., Vol.43, No.4, pp.354-361, 2004.
- [4] S.Antani, D.J.Lee, L.R.Long, G.R.Thoma, "Evaluation of shape similarity measurement methods for spine X-ray images", J. of Vis. Comm. and Image Rep., Vol.15, No.3, pp.285-302, 2004.
- [5] J.G.Dy, C.E.Brodley, A.Kak, L.S.Broderick, A.M.Aisen, "Unsupervised feature selection applied to content-based retrieval of lung images", IEEE Trans. Pattern Anal. Mach. Intell., Vol.25, No.3, pp.373-378, 2003.
- [6] P.Korn, N.Sidiropoulos, C.Faloutsos, E.Siegel, Z.Propopapas, "Fast and effective retrieval of medical tumor shapes", IEEE Trans. Knowl. Data Eng., Vol.10, No.6, pp.889-904, 1998.
- [7] S.N.Yu, C.T.Chianga, C.C.Hsieh, "A three-object model for the similarity searches of chest CT images", Computerized Medical Imaging and Graphics, Vol.29, pp.617-630, 2005.
- [8] L.L.G.Oliveira, S.A.Silva, L.H.V.Ribeiro, R.M.Oliveira, C.Coelho, A.S.S.Andrade, "Computer-aided diagnosis in chest radiography for detection of childhood pneumonia", Int. J. Med. Inform., Vol.77, No.8, pp.555-564, 2007.
- [9] X.Xu, D.J.Lee, S.Antani, L.R.Long, "A spine X-ray image retrieval system using partial shape matching", IEEE Trans. on Info. Tech. in Biom., Vol.12, No.1, pp.100-108, 2008.
- [10] O.Nomira, M.Abdel-Mottaleb, "Hierarchical contour matching for dental X-ray radiographs", Pattern Recognition, Vol.41, pp.130-138, 2008.
- [11] H.Greenspan, A.T.Pinhas, "Medical image categorization and retrieval for PACS using the GMM-KL framework", IEEE Trans. on Information Technology in Biomedicine, Vol.11, No.2, pp.190-202, 2007.
- [12] M.M.Rahman, P.Bhattacharya, B.C.Desai, "A framework for medical image retrieval using machine learning and statistical similarity matching techniques with relevance feedback", IEEE Trans. on Inf. Tech. in Bio., Vol.11, No.1, pp.58-69, 2007.
- [13] M.M.Rahman, B.C.Desai, P.Bhattacharya, "Medical image retrieval with probabilistic multi-class support vector machine classifiers and adaptive similarity fusion", Computerized Medical Imaging and Graphics, Vol.32, pp.95-108, 2008.
- [14] J.Yao, Z.Zhang, S.Antani, R.Long, G.Thoma, "Automatic medical image annotation and retrieval", Neurocomputing, Vol.71, No.10, pp.2012-2022, 2008.

- [15] W.W.Chu, C.C.Hsu, A.F.Cardenas, R.K.Taira, "Knowledge-based image retrieval with spatial and temporal constructs", IEEE Trans. Knowl. Data Eng., Vol.10, No.6, pp.872-888, 1998.
- [۱۶] حسین پورقاسم و حسن قاسمیان، "ارائه یک روش بازخورد ربط ترکیبی مبتنی بر معیار فاصله اقلیدسی و معیار شباهت تابع احتمال در یک سیستم بازیابی تصاویر اشعه  $\times$  پزشکی"، مجموعه مقالات شانزدهمین کنفرانس بین المللی مهندسی برق ایران (ICEE2008)، جلد اول، صفحات ۱۹۷-۲۰۲، دانشگاه تربیت مدرس، تهران، اردیبهشت ۱۳۸۷.
- [17] I.J.Cox, M.L.Miller, T.P.Minka, T.Papathomas, P.N.Yianilos, "The Bayesian image retrieval system, PicHunter: Theory, implementation, and psychophysical experiments", IEEE Trans. on Image Proc., Vol.9, No.1, pp.20-37, Jan. 2000.
- [18] El-Naqa, Y.Yang, N.P.Galatsanos, R.M.Nishikawa, M.N.Wernick, "A similarity learning approach to content-based image retrieval: Application to digital mammography", IEEE Tran. on Medi. Imag., Vol.23, No.10, pp.1233-1244, 2004.
- [19] Z.Su, H.Zhang, S.Li, S.Ma, "Relevance feedback in content based image retrieval Bayesian framework feature subspaces, and progressive learning", IEEE Trans. on Image Processing, Vol.12, No.8, pp.924-937, 2003.
- [20] E.d.Ves, J.Domingo, G.Ayala, P.Zuccarello, "A novel Bayesian framework for relevance feedback in image content-based retrieval systems", Pattern Recognition, Vol.39, pp.1622-1632, 2006.
- [21] M.Efron, "Query expansion and dimensionality reduction: Notions of optimality in Rocchio relevance feedback and latent semantic indexing", Info. Proc. and Mana., Vol.44, pp.163-180, 2008.
- [22] H-C.Lin, L-H.Wang, S-M.Chen, "Query expansion for document retrieval based on fuzzy rules and user relevance feedback techniques", Exp. Syst. with Appl., Vol.31, pp.397-405, 2006.
- [23] W.S.Wong, R.W.P.Luk, H.V.Leong, K.S.Ho, D.L.Lee, "Re-examining the effects of adding relevance information in a relevance feedback environment", Info. Proc. and Mana., Vol.44, No.3, pp.1086-1116, May 2008.
- [24] Y.Wu, A.Zhang, "A feature re-weighting approach for relevance feedback in image retrieval", IEEE/ICIP, Rochester, New York, Sept. 2002.
- [25] G.Carneiro, A.B.Chan, P.J.Moreno, N.Vasconcelos, "Supervised learning of semantic classes for image annotation and retrieval", IEEE Trans. on Patt. Anal. and Mach. Inte., Vol.29, No.3, pp.394-410, 2007.
- [26] H-W.Yoo, "Retrieval of movie scenes by semantic matrix and automatic feature weight update", Expert Systems with Applications, Vol.34, pp.2382-2395, 2008.
- [27] D-H.Kim, S-H.Yu, "A new region filtering and region weighting approach to relevance feedback in content-based image retrieval", The Jour. of Syst. and Soft., Vol.81, No.9, pp.1525-1538, Sep. 2008.
- [28] N.Rooney, D.Patterson, M.Galushka, V.Dobrynin, "A relevance feedback mechanism for cluster-based retrieval", Info. Proc. and Mana., Vol.42, pp.1176-1184, 2006.
- [29] P-C.Cheng, B-C.Chien, H-R.Ke, W.P.Yang, "A two-level relevance feedback mechanism for image retrieval", Exp. Syst. with Appl., Vol.34, pp.2193-2200, 2008.
- [30] S.K.Saha, A.K.Das, B.Chanda, "Image retrieval based on indexing and relevance feedback", Pattern Recognition Letters, Vol.28, pp.357-366, 2007.
- [31] T.Qin, X.D.Zhang, T.Y.Liu, D.S.Wang, W.Y.Mab, H.J.Zhang, "An active feedback framework for image retrieval", Pattern Recognition Letters, Vol.29, pp.637-646, 2008.
- [32] R.Krishnapuram, S.Medasani, S.Jung, Y.Choi, R.Balasubramaniam, "Content-Based Image Retrieval Based on a Fuzzy Approach", IEEE Trans. on Know. and Data Eng., Vol.16, No.10, pp.1185-1199, 2004.
- [33] S.Medasani, R.Krishnapuram, Y.Choi, "Graph Matching by Relaxation of Fuzzy Assignments", IEEE Trans. Fuzzy Syst., Vol.9, No.1, pp.173-182, 2001.
- [34] H.Pourghassem, H.Ghasseman, "Content-based medical image classification using a new hierarchical merging scheme", Jour. of Comp. Medi. Imag. and Grap., Vol.22, No.8, pp.651-661, 2008.
- [35] M.R.Haralick, K.Shanmugam, I.Dinstein, "Texture features for image classification", IEEE Trans. Syst., Man, and Cybe., Vol.3, No.6, pp.610-621, 1973.
- [36] E.Persoon, K.Fu, "Shape discrimination using Fourier descriptors", IEEE Trans. Syst. Man and Cybe., Vol.7, pp.170-179, 1977.
- [37] A.K.Jain, Fundamentals of Digital Image Processing, Prentice Hall, NJ, 1989.
- [38] L.Yang, F.Alrgretsen, "Fast computation of invariant geometric moments: A new method giving correct results", Proc. IEEE/ICIP, pp.201-204, 1994.
- [39] I.Bloch, "Fuzzy Relative Position between Objects in Image Processing: A morphological approach", IEEE Trans. Patt. Anal. and Mach. Inte., Vol.21, No.7, pp.657-664, July 1999.
- [40] G.Pass, R.Zabith, "Histogram refinement for content-based image retrieval", IEEE Work. on Appl. of Comp. Vision, pp.6-102, 1996.
- [۴۱] حسین پورقاسم و حسن قاسمیان، "طیقه‌بندی محتوایی تصاویر پزشکی با ویژگیهای طیفی و هیستوگرام جهتی در فضای چند مقیاسه"، مجموعه مقالات چهاردهمین کنفرانس بین المللی مهندسی پزشکی ایران (ICBME2008)، جلد اول، صفحات ۱۲۴-۱۳۰، دانشگاه شاهد، تهران، بهمن ۱۳۸۶.

- [42] Y.Rui, T.S.Huang, S.Mehrotra, "Content-based image retrieval with relevance feedback in MARS", Proceedings of Int. Conf. on Image Proc., Vol.2, pp.815 -818, 1997.
- [43] T.Lehmann, M.Guld, C.Thies, B.Fischer, K.Spitzer, D.Keysers, H.Ney, M.Kohnen, H.Schubert, B.B.Wein, "Content-based image retrieval in medical applications", Methods Inform. Med., Vol.43, No.4, pp.354-361, 2004.
- [44] T.Deselaers, D.Keysers, H.Ney, "Classification error rate for quantitative evaluation of content-based image retrieval systems", ICPR, Vol.2, pp.505-508, 2004.

#### رزومه



حسین پورقاسم استادیار گروه مخابرات دانشکده برق دانشگاه آزاد اسلامی واحد نجف‌آباد، دکتری تخصصی برق با گرایش مهندسی پزشکی را در سال ۱۳۸۷ از دانشگاه تربیت مدرس اخذ کرده است. وی مدرک کارشناسی و کارشناسی ارشد خود را در همین رشته در سالهای ۱۳۸۱ و ۱۳۸۳ دریافت کرده است. نامبرده در تمامی این دوره‌ها دانشجوی ممتاز بوده است. زمینه‌های تحقیقاتی مورد علاقه وی شامل زمینه‌های مختلف پردازش تصویر مانند نمایه‌گذاری و بازیابی تصاویر، بیومتریک، ردیابی اشیاء، مخفی کردن اطلاعات و شناسایی الگو می‌باشد و در این زمینه‌ها تاکنون مقالات بسیاری در مجلات و کنفرانس‌های خارجی و داخلی به چاپ رسانیده است. اجرای چندین پروژه کاربردی و صنعتی از دیگر فعالیتهای پژوهشی ایشان می‌باشد.



حسن قاسمیان متولد ۱۳۳۵ ایران است. مدرک کارشناسی مهندسی برق را از دانشگاه مخابرات تهران در سال ۱۳۵۸ و مدارک کارشناسی ارشد و دکتراخی خود را در زمینه مهندسی مخابرات از دانشگاه پردو آمریکا به ترتیب در سالهای ۱۳۶۲ و ۱۳۶۶ اخذ کرده است. ایشان از سال ۱۳۶۶ در دانشگاه تربیت مدرس مشغول به تدریس شده است و اکنون استاد دانشکده مهندسی برق و کامپیوتر آن دانشگاه می‌باشد. زمینه‌های تحقیقاتی مورد علاقه ایشان عبارتند از پردازش سیگنال و تصویر چند رسانه‌ای، آنالیز اطلاعات و سنجش از راه دور می‌باشد و تاکنون بیش از ۲۰۰ مقاله در کنفرانس‌ها و مجلات در این زمینه‌ها به چاپ رسانیده است. همچنین در طی ۲۰ سال گذشته بیش از ۸۰ دانش‌آموخته کارشناسی ارشد و دکترا را تربیت کرده و تحويل جامعه دانشگاهی و مراکز صنعتی، تحقیقاتی داده است. دکتر قاسمیان عضو ارشد IEEE می‌باشد.